

SSH Model笔记

食司

Date: 2024 年 4 月 5 日

Abstract

这篇笔记是应金亮老师的建议而写的，其目的在于总结并展示我对SSH Model的理解。

Contents

1 模型内容与哈密顿量	1
2 Winding number	3
3 Berry相位	5
4 Berry相位与Winding number	7
Reference	7

1 模型内容与哈密顿量

1.1 基础内容

在我看来，SSH模型是一条可以有限或无限长的链，在上面分布着许多能量相同¹的位点，可以供电子占据。由于相邻两个位点的波函数的重叠程度不同，因而这些位点彼此并不等价，可记作 A 和 B ，他们交错排列。将一个 A 格点和位于它右侧的 B 格点视作处于一个晶胞中，称 A 和 B 为亚晶格。记它们波函数的重叠部分的积分正比于 v 。记一个 B 格点与其右侧格点 A 的波函数的重叠部分的积分正比于 w ，并认为一个格点只与其相邻的格点相互作用，则系统的哈密顿量可以写为

$$\hat{H} = v \sum_{n=1}^N (|A_n\rangle \langle B_n| + |B_n\rangle \langle A_n|) + w \sum_{n=1}^{N-1} (|A_{n+1}\rangle \langle B_n| + |B_n\rangle \langle A_{n+1}|) \quad (1.1)$$

我们总是可以通过适当地在 A 和 B 上增添负号，或乘上相应的相因子，保持 v 和 w 为实正数。此后以 $h.c.$ 表共轭项。

¹这是简化的模型要求不存在位势所导致的。

当我们讨论整个系统时，可以利用子空间的概念。以晶胞的序号 n 为外部自由度，每个晶胞内的亚晶格情况为内部自由度，以 $\alpha \in \{A, B\}$ 标识，则整体的态可写为

$$|n, \alpha\rangle = |n\rangle \otimes |\alpha\rangle \quad (1.2)$$

对 $N = 4$ 的系统，其总状态数应为 $4 \times 2 = 8$ ，可以将其哈密顿量展开，写为矩阵形式[1]

$$H = \begin{pmatrix} 0 & v & 0 & 0 & 0 & 0 & 0 & 0 \\ v & 0 & w & 0 & 0 & 0 & 0 & 0 \\ 0 & w & 0 & v & 0 & 0 & 0 & 0 \\ 0 & 0 & v & 0 & w & 0 & 0 & 0 \\ 0 & 0 & 0 & w & 0 & v & 0 & 0 \\ 0 & 0 & 0 & 0 & v & 0 & w & 0 \\ 0 & 0 & 0 & 0 & 0 & w & 0 & v \\ 0 & 0 & 0 & 0 & 0 & 0 & v & 0 \end{pmatrix} \quad (1.3)$$

Remark. 其中每一行（列）对应基态 $|1, A\rangle, |1, B\rangle, |2, A\rangle, |2, B\rangle, \dots$ ；对角线元素为0，体现了我们认为不存在位势，或一个子状态与自身不发生相互作用。

利用泡利矩阵

$$\sigma_0 = \begin{pmatrix} 1 & 0 \\ 0 & 1 \end{pmatrix}, \quad \sigma_x = \begin{pmatrix} 0 & 1 \\ 1 & 0 \end{pmatrix}, \quad \sigma_y = \begin{pmatrix} 0 & -i \\ i & 0 \end{pmatrix}, \quad \sigma_z = \begin{pmatrix} 1 & 0 \\ 0 & -1 \end{pmatrix} \quad (1.4)$$

我们可以把哈密顿量重写为

$$\hat{H} = v \sum_{n=1}^N |n\rangle \langle n| \otimes \hat{\sigma}_x + w \sum_{n=1}^{N-1} \left(|n+1\rangle \langle n| \otimes \frac{\hat{\sigma}_x + i\hat{\sigma}_y}{2} + h.c. \right) \quad (1.5)$$

Remark. 注意第一项显然无共轭项。为了将泡利矩阵的意义看得更清楚，设想其每行（列）分别代表 A, B ，并注意

$$\sigma_x = \begin{pmatrix} 0 & 1 \\ 1 & 0 \end{pmatrix}, \quad \frac{\hat{\sigma}_x + i\hat{\sigma}_y}{2} = \begin{pmatrix} 0 & 1 \\ 0 & 0 \end{pmatrix}, \quad \frac{\hat{\sigma}_x - i\hat{\sigma}_y}{2} = \begin{pmatrix} 0 & 0 \\ 1 & 0 \end{pmatrix} \quad (1.6)$$

1.2 体动量空间

假设我们研究的该模型具有周期性边界条件（即形成一个环）。对外部自由度利用Bloch定理，

$$|k\rangle = \frac{1}{\sqrt{N}} \sum_{n=1}^N e^{ink} |n\rangle \quad (1.7)$$

这里 $k \in \{\delta_k, 2\delta_k, \dots, N\delta_k\}$ ， $\delta_k = \frac{2\pi}{N}$ ，并且有周期性条件 $|k + 2\pi\rangle = |k\rangle$ 。 k 取的是第一布里渊区中的值。

称 $|\Psi_n(k)\rangle$ 为Bloch本征态，则与前面类似地，

$$|\Psi_n(k)\rangle = |k\rangle \otimes |u_n(k)\rangle \quad (1.8)$$

其中，

$$|u_n(k)\rangle = a_n(k) |A\rangle + b_n(k) |B\rangle \quad (1.9)$$

对给定的 k ，定义体动量空间哈密顿量 $\hat{H}(k)$ ，

$$\hat{H}(k) = \langle k | \hat{H} | k \rangle = \sum_{\alpha, \beta \in \{A, B\}} \langle k, \alpha | \hat{H} | k, \beta \rangle \cdot |\alpha\rangle \langle \beta| \quad (1.10)$$

现在自然有

$$\hat{H}(k) |u_n(k)\rangle = E_n(k) |u_n(k)\rangle \quad (1.11)$$

即 $u_n(k)$ 是体动量空间哈密顿量 $\hat{H}(k)$ 的本征态。这就将问题转化到了抽象的体动量空间中，SSH Model的拓扑性质正是在体动量空间中体现的。

2 Winding number

2.1 $\hat{H}(k)$ 的矩阵形式

对于给定的 k ，由 $|\Psi_m(k)\rangle = |k\rangle \otimes |u_m(k)\rangle$ ，在 $N = 4$ 时， $|\Psi(k)\rangle$ 的基态有 $4 \times 2 = 8$ 个，4来自利用Bloch定理转换时的求和，2来自内部自由度。现在本征方程可以写为

$$\begin{pmatrix} 0 & v & 0 & 0 & 0 & 0 & 0 & w \\ v & 0 & w & 0 & 0 & 0 & 0 & 0 \\ 0 & w & 0 & v & 0 & 0 & 0 & 0 \\ 0 & 0 & v & 0 & w & 0 & 0 & 0 \\ 0 & 0 & 0 & w & 0 & v & 0 & 0 \\ 0 & 0 & 0 & 0 & v & 0 & w & 0 \\ 0 & 0 & 0 & 0 & 0 & w & 0 & v \\ w & 0 & 0 & 0 & 0 & 0 & v & 0 \end{pmatrix} \begin{pmatrix} a(k)e^{ik} \\ b(k)e^{ik} \\ a(k)e^{2ik} \\ b(k)e^{2ik} \\ a(k)e^{3ik} \\ b(k)e^{3ik} \\ a(k)e^{4ik} \\ b(k)e^{4ik} \end{pmatrix} = E(k) \begin{pmatrix} a(k)e^{ik} \\ b(k)e^{ik} \\ a(k)e^{2ik} \\ b(k)e^{2ik} \\ a(k)e^{3ik} \\ b(k)e^{3ik} \\ a(k)e^{4ik} \\ b(k)e^{4ik} \end{pmatrix} \quad (2.1)$$

Remark. 左下角和右上角的取值来自于周期性条件。

现在固定应用Bloch定理求和时的 n （仅看上式的哈密顿量和态右矢中相邻的两行！），不难发现，无论 n 取何值，都有

$$\hat{H}(k) = \begin{pmatrix} 0 & v + we^{-ik} \\ v + we^{ik} & 0 \end{pmatrix}, \quad H(k) \begin{pmatrix} a(k) \\ b(k) \end{pmatrix} = E(k) \begin{pmatrix} a(k) \\ b(k) \end{pmatrix} \quad (2.2)$$

Remark. w 上相位的出现是相邻晶胞间 n 和 $n+1$ 不同的缘故。

利用 $\hat{H}(k)^2 = E(k)^2 \mathbb{I}^2$ ，

$$E(k) = \pm |v + we^{-ik}| = \pm \sqrt{v^2 + w^2 + 2vw \cos k} \quad (2.3)$$

故可写出 $\hat{H}(k)$ 的本征矢为

$$|\pm k\rangle = \begin{pmatrix} \pm e^{-i\phi(k)} \\ 1 \end{pmatrix} \quad (2.4)$$

其中

$$\phi(k) = \tan^{-1} \left(\frac{w \sin k}{v + w \cos k} \right) \quad (2.5)$$

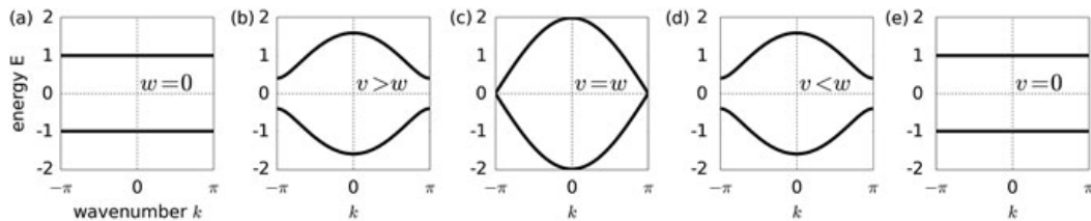


Figure 1: $E(k) - k$ 图像^[1]

由 $E(k) - k$ 的图像可见，在 k 固定时，能量有高低之分。较低的能量为电子的占据态，这使得总体的能量更低，它对应链上所有波函数重叠程度更大的区域。然而，要实现导电，电子必须从整条链上经过，那么电子的波函数将不可避免地处于高能态上。若认为能量不能发生突变，那么只有在 $v = w$ 时，才会出现高低能态在 $k = \pi$ 处相同，此时能隙关闭，从低能态到高能态的过程才能发生，材料才成为导体。由于其临界性，不妨称其为相变点，而称 $v > w$, $v < w$ 的两种情况为两个相²

2.2 内部空间结构

在 $E(k) - k$ 图中，看似 $v > w$ 和 $v < w$ 两相并没有什么区别，但这是仅从本征值上得出的结果，而本征值的得出仅依赖于外部空间。

事实上，内部空间中还隐藏着相当有趣的事情，它与本征矢相关。考虑

$$H(k) = h_0(k)\hat{\sigma}_0 + h_x(k)\hat{\sigma}_x + h_y(k)\hat{\sigma}_y + h_z(k)\hat{\sigma}_z \quad (2.6)$$

很自然地我们想把它写成

$$h_0(k)\hat{\sigma}_0 + \mathbf{h}(k)(\hat{\sigma}) \quad (2.7)$$

$\mathbf{h}(k)$ 可看作一个三维的矢量，对我们的模型，

$$h_0(k) = 0 \quad h_x(k) = v + w \cos k \quad h_y(k) = w \sin k \quad h_z(k) = 0 \quad (2.8)$$

注意 $\mathbf{h}(k)$ 的模就是本征值（即能量），而 $\mathbf{h}(k)$ 能完全地确定体系的哈密顿量，故其方向显然应蕴藏着内部空间的信息。

我们可以画出 $h_x(k) - h_y(k)$ 的轨迹的图像。只有在该轨迹通过原点的情况下，材料才成为导体。

定义 Winding number 为 $\mathbf{h}(k)$ 的轨迹环绕原点的圈数。

我们注意到， $v > w$ 的相对应着晶胞内的位点间更易发生跃迁，而晶胞间的跃迁则更难。这还意味着，在长链的边界处不会出现单一的亚晶格，这也使得这种情况没什么意思，故而称其为平凡的。而 $v < w$ 的情况，不仅代表着晶胞间比晶胞内部更易发生跃迁，还代表着在长链的边界处将出现单一的亚晶格，使得这种情况有意思得多。

²此处使用热力学的语言，与之后的“绝热变化”相呼应。

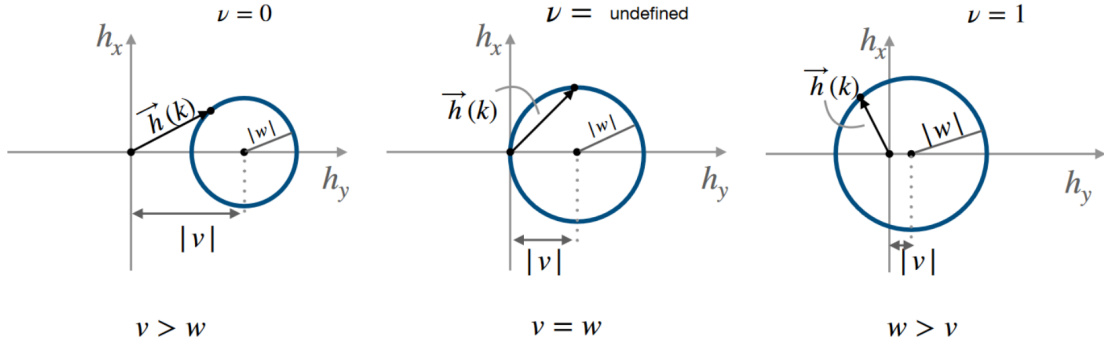


Figure 2: $h_x(k) - h_y(k)$ 图像[2]

2.3 绝热变换与拓扑不变量

定义绝热变换为满足以下要求的，对哈密顿量实施的变换：

- 1、各参数的变化连续。
- 2、保持各种重要的对称性，包括手性对称等。
- 3、始终保持 $E = 0$ 不成立，抑或轨迹不与原点相交。

Winding number是一个体动量空间中的拓扑不变量。后面将证明，在系统发生绝热变化时，Winding number不变[1]。这使得与其相关的性质大都是拓扑性质，具有鲁棒性。

3 Berry相位

3.1 Berry相位

考虑一随时间缓慢绝热变化的哈密顿量 $H(t)$ ³，有

$$H(t) |n(t)\rangle = E(t) |n(t)\rangle \quad (3.1)$$

它是薛定谔方程

$$i\hbar \frac{d}{dt} |\psi(t)\rangle = H(t) |\psi(t)\rangle \quad (3.2)$$

的解

通常情况下，若哈密顿量含时，只要它与时间对易，我们都有解

$$|\psi(t)\rangle = \exp \left[\frac{1}{i\hbar} \int_0^t E(t) dt' \right] |n(t)\rangle \quad (3.3)$$

但显然不合适，因为我们这里 $|n(t)\rangle$ 也会随时间变化。因而不如设

$$|\psi(t)\rangle = e^{i\gamma(t)} \exp \left[\frac{1}{i\hbar} \int_0^t E(t) dt' \right] |n(t)\rangle \quad (3.4)$$

将它代入薛定谔方程，并在两边同时左乘 $\langle n(t)|$ ，整理后有

$$\frac{d}{dt} \gamma(t) = i \langle n(t) | \frac{d}{dt} |n(t)\rangle \quad (3.5)$$

³这使得在变化的过程中，本征态 $|n(t)\rangle$ 始终位于 n 上

或者写成紧凑的形式

$$\dot{\gamma} = i \left\langle n \left| \frac{dn}{dt} \right\rangle \quad (3.6)$$

令

$$A(t) = \langle n(t) | \frac{d}{dt} | n(t) \rangle \quad (3.7)$$

得

$$\gamma(t) = \int_0^t A(t') dt' \quad (3.8)$$

则

$$|\psi(t)\rangle = \exp \left[i \int_0^t A(t') dt' \right] \exp \left[\frac{1}{i\hbar} \int_0^t E(t) dt' \right] |n(t)\rangle \quad (3.9)$$

现在假设 H 是在参数空间中运动的，而非在时间层面上运动。不妨先假设时间在同时流动⁴，记这些参数构成的参数空间中的矢量为 \mathbf{R} ，则有

$$H(t) = H(\mathbf{R}(t)) \quad (3.10)$$

$$\gamma = \int_0^t A(t') dt' \quad (3.11)$$

$$= \int_0^t \left\langle n \left| \frac{\partial n}{\partial \mathbf{R}} \frac{d\mathbf{R}}{dt'} \right\rangle dt' \quad (3.12)$$

$$= \int_{\mathbf{R}(0)}^{\mathbf{R}(t)} A(R) d\mathbf{R} \quad (3.13)$$

其中 $A(R) = \langle n(\mathbf{R}) | \nabla_{\mathbf{R}} | n(\mathbf{R}) \rangle$ 。

称 $\gamma = \int_{\mathcal{C}} \mathcal{A}(\mathbf{R}) d\mathbf{R}$ 为Berry相位，其中 $\mathcal{A}(\mathbf{R}) = i \langle n(\mathbf{R}) | \nabla_{\mathbf{R}} | n(\mathbf{R}) \rangle$ 称为Berry势或Berry联络。

3.2 规范不变性和Berry曲率

对 $|n(\mathbf{R})\rangle$ 做规范变换 $|n(\mathbf{R})\rangle \rightarrow e^{i\zeta(\mathbf{R})} |n(\mathbf{R})\rangle$ ，可见 \mathcal{A} 和 γ 都不是规范不变的

$$\mathcal{A}(\mathbf{R}) \rightarrow \mathcal{A}(\mathbf{R}) - \frac{\partial}{\partial \mathbf{R}} \zeta(\mathbf{R}) \quad (3.14)$$

$$\gamma \rightarrow \gamma - [\zeta(\mathbf{R}(t)) - \zeta(\mathbf{R}(0))] \quad (3.15)$$

但注意式3.15。如果令轨迹为闭合曲线，那么 $\zeta(\mathbf{R}(t)) - \zeta(\mathbf{R}(0)) \equiv 0$ 。此时 γ 就成为一个规范不变量。

考虑闭合路径 \mathcal{C} ， $\mathbf{R}(0) = \mathbf{R}(t)$ ，利用广义Stokes定理，

$$\gamma = \oint_{\mathcal{C}} A(R) d\mathbf{R} \quad (3.16)$$

$$= \int_{\mathcal{S}} \mathcal{B} \cdot d\mathbf{S} \quad (3.17)$$

其中 $\mathcal{B} = \nabla \times \mathcal{A}$ 。

⁴事实上这是没有必要的，我们此处只是便于推导

对于更一般地情况，可以证明[4]

$$\gamma = \int_S d\mathbf{R}^\mu \wedge d\mathbf{R}^\nu \frac{1}{2} \Omega_{\mu\nu}(\mathbf{R}) \quad (3.18)$$

其中 Ω 为二阶反对称张量，称为Berry曲率。

$$\Omega_{\mu\nu}(\mathbf{R}) = \frac{\partial}{\partial \mathbf{R}^\mu} \mathcal{A}(\mathbf{R})_\nu - \frac{\partial}{\partial \mathbf{R}^\nu} \mathcal{A}(\mathbf{R})_\mu \quad (3.19)$$

$$= i \left[\left\langle \frac{\partial n(\mathbf{R})}{\partial R^\mu} \middle| \frac{\partial n(\mathbf{R})}{\partial R^\nu} \right\rangle - \left\langle \frac{\partial n(\mathbf{R})}{\partial R^\nu} \middle| \frac{\partial n(\mathbf{R})}{\partial R^\mu} \right\rangle \right] \quad (3.20)$$

此前的 \mathcal{B} 实质上为（三维情况下的）Berry曲率的矢量表示，满足

$$\Omega_{\mu\nu} = \epsilon_{\mu\nu\xi} \mathcal{B}_\xi \quad (3.21)$$

显然 Ω 和 \mathcal{B} 也都是规范不变的。

对于不同的本征态 $|n\rangle$ ，可以证明[4]

$$\sum_n \Omega_{\mu\nu}^n = 0 \quad (3.22)$$

4 Berry相位与Winding number

现在重新考虑SSH Model。与先前的讨论类似，我们的 H 也是某个参数的 k 的函数。

定义

$$\mathcal{A}(k) = i \langle k | \frac{d}{dk} | k \rangle = \frac{d\phi}{dk} \quad (4.1)$$

可得

$$\gamma = \int_{-\pi}^{\pi} \mathcal{A}(k) dk = \begin{cases} 2\pi & \text{若 } v < w \\ 0 & \text{若 } v > w \\ \text{无意义} & \text{若 } v = w \end{cases} \quad (4.2)$$

可以证明 γ 必定是 2π 的整数倍，而且 $\nu = \frac{\gamma}{2\pi}$ 就等于Winding number。

由于绝热变换满足规范变换条件[2]，而闭合回路上的积分 γ 是一个规范不变量，故而可以得出结论，Winding number是绝热不变的。如果认为绝热变换满足拓扑变换的条件，那么Winding number就是一个拓扑不变量。

Reference

- [1] János K Asbóth, László Oroszlány, and András Pályi. “A short course on topological insulators”. In: *Lecture notes in physics* 919 (2016), p. 166.
- [2] Navketan Batra and Goutam Sheet. “Understanding basic concepts of topological insulators through su-schrieffer-heeger (ssh) model”. In: *arXiv preprint arXiv:1906.08435* (2019).
- [3] R Shankar. “Topological Insulators—A review”. In: *arXiv preprint arXiv:1804.06471* (2018).
- [4] Di Xiao, Ming-Che Chang, and Qian Niu. “Berry phase effects on electronic properties”. In: *Reviews of modern physics* 82.3 (2010), p. 1959.